

# بررسی و مطالعات آزمایشگاهی تاثیر افزایه‌های دانه‌بندی شده در کاهش آسیب حفاری مخازن شکافدار

## پژوهش نفت

سال بیست و چهارم  
شماره ۷۷  
صفحه، ۵۳-۶۶  
تاریخ دریافت مقاله: ۹۰/۱۲/۱۰  
تاریخ پذیرش مقاله: ۹۱/۱۱/۲۳

محمد سلیمانی<sup>\*</sup>، سعیده رعیت دوست و مجید سجادیان  
۱- مرکز مطالعات تکنولوژی حفاری، پردیس پژوهش و توسعه صنایع بالادستی  
نفت، پژوهشگاه صنعت نفت  
soleymanim@ripi.ir

واژه‌های کلیدی: سیالات حفاری، آسیب سازند، مخازن  
شکافدار، نمک‌های دانه‌بندی شده، افزایه‌های فیبری

### مقدمه

در اکثر مخازن هیدرورکربنی، برداشت از سیستم شکاف‌های ناحیه تولیدی صورت می‌گیرد به طوری که این شکاف‌ها تراوایی مناسبی را برای جریان یافتن نفت و گاز به داخل حفره چاه حتی هنگامی که تراوایی سنگ خیلی کم باشد، فراهم می‌کنند. در بسیاری از موارد مشاهده شده که میزان بهره‌برداری به میزان قابل توجهی در عملیات حفاری در لایه‌های تولیدی با گل پایه آبی یا روغنی، حتی در شرایطی که حفاری فرا تعادلی انجام شده، کاهش یافته است. مواد کترل کننده هرزروی گل حفاری به منظور اتصال عرضی به سطح شکاف و حفرات و همچنین جلوگیری از گسترش شکاف که ممکن است حین حفاری پدید آید، استفاده می‌شود. این راهبرد منجر به توسعه گسترده مواد افزودنی مؤثر در برخی شرایط شده است. برخی قوانین تجربی

### چکیده

سیالات حفاری آسیب‌های جدی به شکاف‌های طبیعی لایه‌های تولیدی چاه‌های هیدرورکربنی وارد کرده و موجب کاهش تولید می‌شوند. روش‌های مختلفی برای مقابله با این مشکلات وجود دارد به طوری که می‌توان با استفاده از الیاف‌های دانه‌بندی شده به عنوان افزودنی در سیالات حفاری، عمق نفوذ و گستره آسیب دیدگی سازند را کاهش داد. یکی از این روش‌ها استفاده از افزودنی‌های مختلفی است که بتواند عمق آسیب سازند ناشی از ورود جامدات سیالات حفاری را کاهش دهد. به همین منظور از کربنات کلسیم دانه‌بندی شده و نوعی افزایه فیبری شکل محلول در اسید جهت کاهش آسیب دیدگی مخازن شکافدار استفاده گردید که افزایه فیبری شکل در مقایسه با کربنات کلسیم عملکرد مطلوب از خود نشان داد. در این مقاله مکانیزم مسدودسازی شکاف‌ها ناشی از تأثیر دو نوع افزودنی کترل هرزروی فیبری با طول بلند و باریک در کنار افزودنی با دانه‌بندی مناسب بررسی شده است. نتایج نشان دادند که مقدار صافاب در استفاده از ذرات فیبری به میزان ۹ml/۵hr بوده و میزان بهبود تراوایی ۵۰٪ بوده است.

۱۲ اینچ و قطر ۱ اینچ را دارد. اندازه‌گیری فشار در چهار جهت نمونه مغزه امکان‌پذیر بوده و نرخ صافاب با مشاهده و سنجش مدام حجم خروجی از انتهای مغزه، اندازه‌گیری می‌شود. تراوایی هر مقطع از نمونه سنگ قابل محاسبه است. نگهدارنده مغزه طوری طراحی شده که همزمان با گردش سیال در سراسر سطح شکاف، گل حفاری به درون شکاف وارد می‌شود. کاهش تراوایی ناشی از گردش گل، در بخش‌های مختلف مشاهده می‌گردد. پس از گردش گل، اندود صافی آن به طور فیزیکی در روی سطح شکاف بررسی شده و با تزریق آب نمک در جهت معکوس، تغییر تراوایی پیش و پس از گردش گل اندازه‌گیری می‌شود [۲].

### روش انجام آزمایش

از ۱۸ نمونه مغزه ماسه سنگی به طول ۸ اینچ استفاده شده است. تراوایی نمونه‌های مغزه بدون شکاف نسبت به آب نمک برابر با  $212 \text{ ml/dr}$  و میانگین تخلخل نمونه‌ها  $23\%$  است. شکاف‌هایی در طول محورهای سنگ مخزن ایجاد می‌شود. سطح شکاف ایجاد شده مدل مناسب و معقولی برای سطح شکاف تازه (بدون کانی) در سنگ است. این روش نسبت به برش با اره به واقعیت نزدیک‌تر است. البته لازم به ذکر است که برای سیستم شکاف طبیعی مناسب نمی‌باشد زیرا به شکاف‌های متناوب توجه نشده و نیز میزان ناهمواری و زبری سطوح ظاهرًاً تصادفی بوده است. در مواردی که دهانه شکاف بزرگ‌تر مورد نیاز است، از ماسه به ابعاد  $200 \times 300$  میکرون یا کربنات کلسیم با دانه‌بندی  $1\text{ mm}$ ، بین دو سطوح شکاف، استفاده شده است. تراوایی شکاف پر شده با ماسه، از  $20 \text{ to } 40$  در نوسان می‌باشد در حالی که برای نوع پر شده با کربنات کلسیم تحت فشار  $500 \text{ psi}$  این مقدار  $250 \text{ d}$  بوده است. معادله ۱، برای محاسبه عرض شکاف (با فرض عبور جریان از یک شکاف) استفاده شده است [۲].

$$(1) \quad W = 2 \left[ \frac{\frac{3}{2} A}{k_f - k_m} \right]^{1/3}$$

که در رابطه بالا،  $W$  عرض شکاف،  $A$  سطح مقطع نمونه مغزه،  $h_f$  طول شکاف و  $k_f$  و  $k_m$  به ترتیب تراوایی شکاف و ماتریکس سنگ است. عرض شکاف برابر  $2 \text{ md}$  اندازه‌گیری شده است. ترکیبات سیالات حفاری موردن

برای حل مشکل هرزروی گل به کار می‌روند که عبارتند از:  
 ۱- استفاده از گل‌های پایه روغنی برای کم کردن مشکلات هرزروی از سیال پایه آبی  
 ۲- توزیع اندازه، غلظت، شکل و شیوه آماده‌سازی افزودنی‌های سیال حفاری برای موفقیت بهینه‌سازی ضروری است.

با توجه به مطالعات و تجارب آزمایشگاهی و سرچاهی، گل‌های حفاری با اندود صافی مستحکم از نظر مکانیکی، در سراسر سطح یک شکاف منجر به کاهش مشکلات هرزروی می‌شود. شکاف‌های القایی، مکانیسم اصلی هرزروی است، لذا از مواد کنترل کننده که به طور مؤثر مانع رشد شکاف می‌شوند، استفاده می‌گردد. Loepke و همکاران، براساس مطالعاتی که بر روی اثرات ذرات متصل کننده (منفرد و دوگانه) روی سطح شکاف انجام داده‌اند، دریافتند که در صورت عدم تطابق اندازه ذرات با عرض شکاف، اتصال پایدار تشکیل نمی‌شود. در صورتی که توزیع مناسب اندازه، توانایی زیادی در مسدود کردن دارد [۱]. نتایج آزمایشات نشان می‌دهد که ترکیبی از ذرات دانه‌بندی شده می‌تواند مناسب‌ترین مانع در ورودی شکاف فراهم آورد. به طوری که ترکیبی از ذرات فیبری (الیافی) در اندازه‌های مختلف برای جلوگیری از هدر رفت گل در سازندگاه‌های سست شدیداً تخلیه شده، پیشنهاد می‌شود. این مطالعه به بررسی مشکل هرزروی گل حفاری به داخل شکاف از دیدگاه مهندسی تولید (در مقابله مهندس حفار) پرداخته است. به این معنی که اگرچه در حفاری یک چاه کاهش هزینه‌های هرزروی سیال ضروری است، بهبود تراوایی در شبکه شکاف‌ها که مجرایی برای جریان سیال به داخل حفره چاه محسوب می‌شود نیز اهمیت زیادی دارد. از این‌رو، کاهش آسیب شبکه شکاف طبیعی سازند از نقطه نظر تولید، ضروری بوده و کوتاهی در انجام آن ممکن است سبب کاهش غیرقابل جبران در تولید از چاه‌های تکمیلی باشد.

### دستورالعمل و تجهیزات آزمایشگاهی

تجهیزات آزمایشگاهی استفاده شده شامل مغزه نگهدار مشابه نمونه استاندارد Hassler با برخی تغییرات مهم است که دستگاه مذکور قابلیت استفاده از نمونه مغزه به طول  $3 \text{ cm}$

نتوانسته تراوایی را بهبود بخشد. این نتیجه به روشنی نشان می‌دهد که سازندهای ترک‌دار، در صورت استفاده از سیال حفاری فاقد افزایه کنترل هرزروی، آسیب جدی دیده و تراوایی آسیب دیده با جریان برگشتی بازیابی نمی‌شود. رفتار صافاب سیال حفاری در زمان‌های نخستین آزمایش در شکل ۱-ب مشاهده می‌شود. نمودار حجم صافاب تجمعی  $Q$  بر حسب ریشه دوم زمان به وضوح، تناوبی از جهش ناگهانی صافاب با تشکیل اندود صافی خارجی را نشان می‌دهد (بخش خط مستقیم نمودار).

با گذشت زمان همان‌طوری که در آزمایشات تحت شرایط صافاب دینامیکی امکان انتظار می‌رفت (خط مستقیم نمودار شکل ۱-الف) تشکیل اندود خارجی متوقف می‌شود. این اتفاق نشان‌دهنده حالت پایا به همراه با اندود صافی با ضخامت ثابت و نرخ افت صافی یکنواخت سیال است. نمودار شکل ۳ نشان می‌دهد که کیک گل پس از ۲ min به طور کامل تشکیل نشده است. زیرا سیال حفاری در خارج از مغزه جریان دارد و شکاف پر از گل بوده و آسیب تراوایی بسیار شدید است.

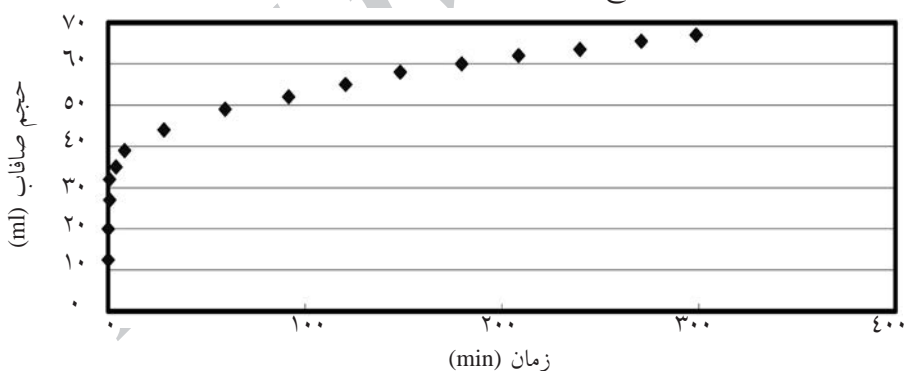
استفاده در این مطالعه شامل gr ۴۰ بتنونیت، ۱ لیتر آب ۲۰، گرم کلرید سدیم، ۳ گرم کربوکسی متیل سلولز و افزودنی‌های کنترل هرزروی است.

### بحث و نتایج آزمایشگاهی

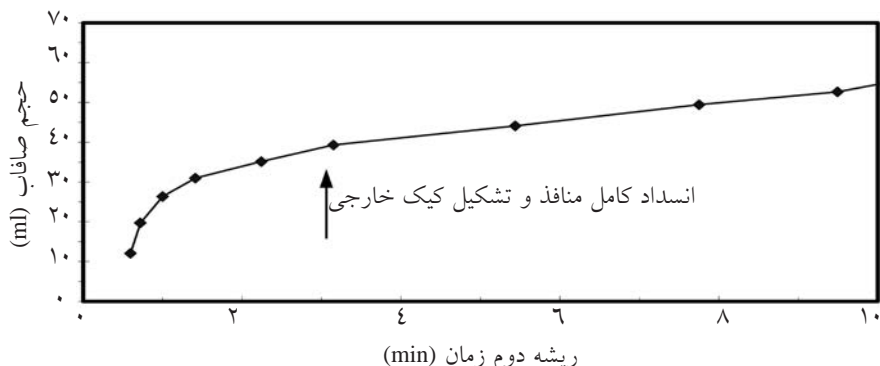
در شکل‌های ۱ و ۲، تغییرات تراوایی شکاف و افت صافی سیال حفاری (gr ۴۰ بتنونیت، یک لیتر و  $\frac{1}{3}$ ٪ کربوکسی متیل سلولز) بدون افزایه‌های کنترل هرزروی رسم شده است.

همان‌گونه که در شکل ۱-الف مشاهده می‌شود، تراوش و جهش ناگهانی صافاب در طول شکاف بسیار بالا است. مقدار ۳۰ ml گل حفاری در طول شکاف جریان یافته و در مجرای خروجی در انتهای مغزه در مدت یک دقیقه جمع‌آوری شده است. شکل ۲، نتایج تخریب تراوایی را نشان می‌دهد. همان‌گونه که ملاحظه می‌شود هر سه مقطع به میزان زیادی آسیب دیده و حتی در آخرین مقطع، تراوایی به ۲۰٪ نسبت به مقدار اولیه خود کاهش یافته است.

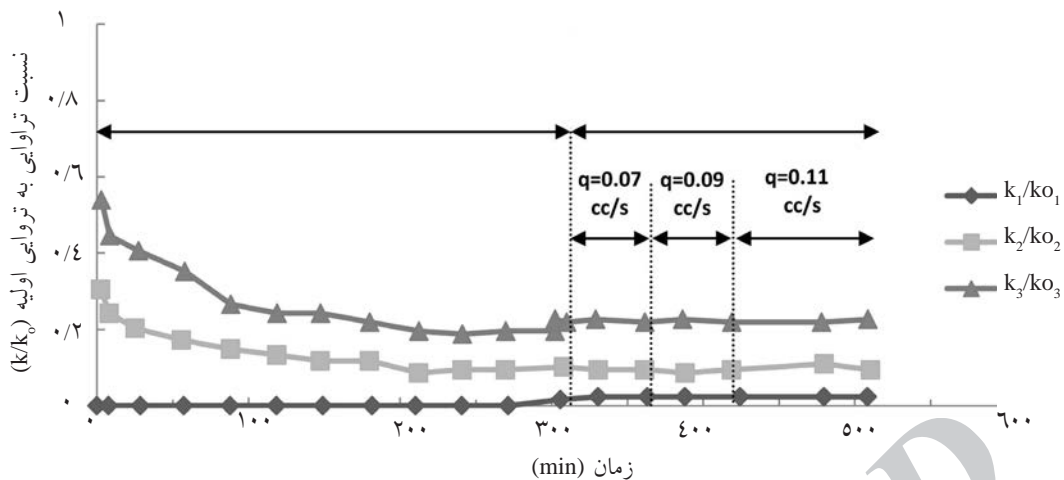
همان‌گونه که مشاهده می‌شود به دلیل ورود مواد جامد گل به درون شکاف، جریان برگشتی آب سور با نرخ بالا نیز



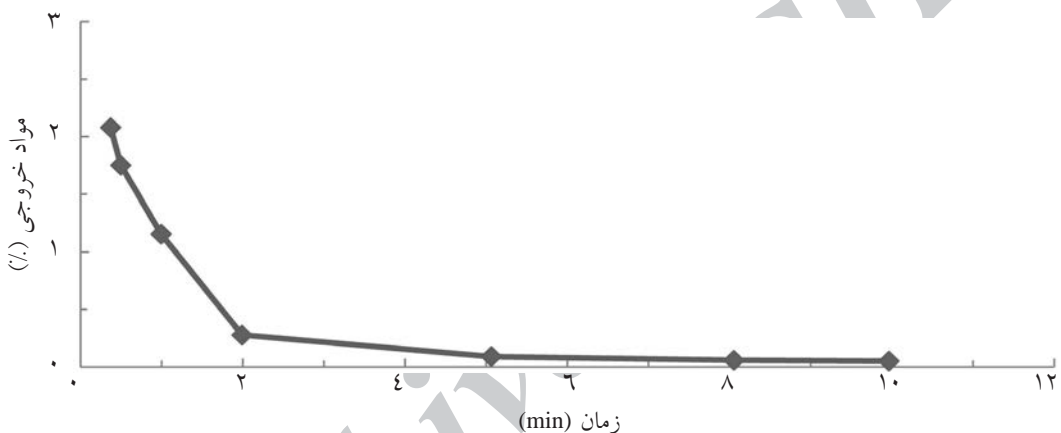
شکل ۱-الف- صافاب دینامیکی سیال بر حسب زمان (بدون افزودنی کنترل هرزروی، عرض شکاف  $10^3 \mu\text{m}$ )



شکل ۱-ب- رفتار صافاب سیال در زمانهای اولیه (نشانگر انسداد و تشکیل کیک خارجی است)



شکل ۲- آسیب تراوایی شکاف بر حسب زمان(تربیت گل مشابه شکل ۱ و عرض شکاف  $10^3 \mu\text{m}$ )



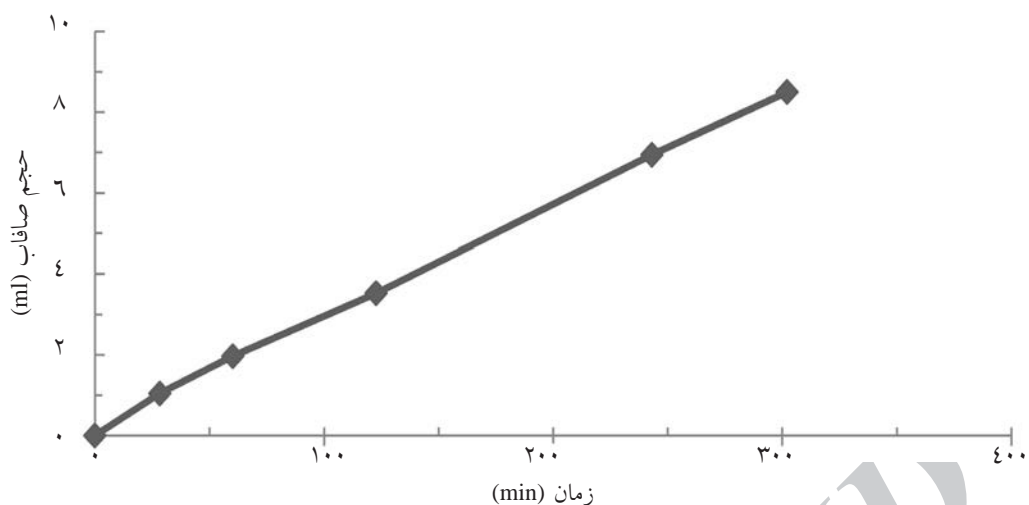
شکل ۳- نمودار نیم رخ غلظت ذرات در سیال خروجی (بدون استفاده از افزایه کنترل هرزروی و انسداد)

دو نمونه یکسان می‌باشد که ناشی از عمق نفوذ کم ذرات الیافی به درون شکاف سازند است. تصویری از شکاف پس از آزمایش به وضوح نشان می‌دهد که اندود صافی سیال درست در  $2 \text{ mm}$  ابتدایی درون شکاف تشکیل شده است. یعنی ذرات الیافی و فیبری در انسداد حفرات و جلوگیری از هجوم ذرات گل، نقش بارزی دارند. تصویر مواد الیافی با وضوح بالا ( $X_{80}$ ) پراکنده در آب نشان می‌دهد که بسیاری از ذرات الیاف در کنار یکدیگر قرار گرفته و توده فیبری تشکیل می‌دهند. این توده‌ای تشکیل یافته از الیاف، متخلخل و شکل پذیر بوده و نسبت به مواد جامد هم اندازه روی دیواره چاه به آسانی رسوب می‌نماید. پس از تشکیل پل‌هایی از الیاف، ذرات خاک رس به آسانی روی آنها نشسته و با ایجاد اندود صافی از هجوم و نفوذ ذرات سیال حفاری جلوگیری می‌کند.

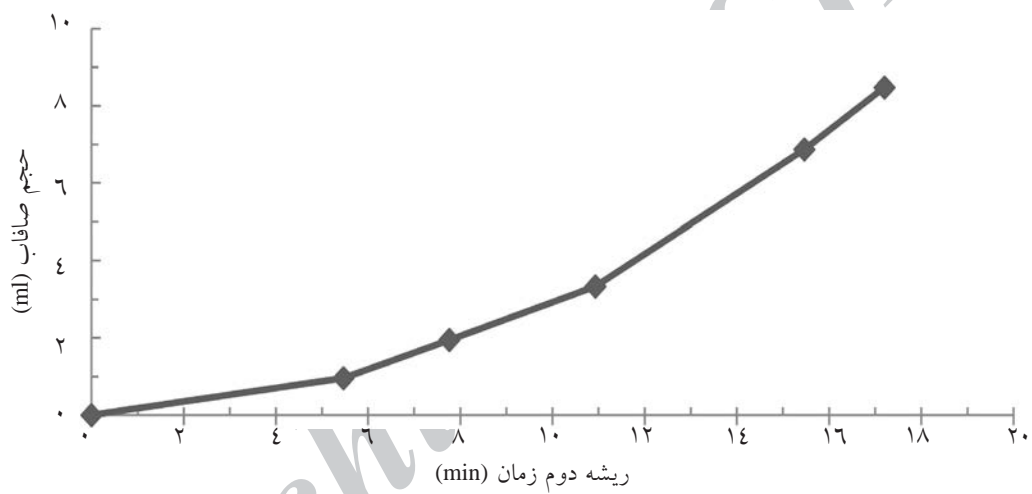
### اثر افزودنی‌های الیافی

در شکل‌های ۴ و ۵، نتایج حاصل از آزمایشات برروی سیال حفاری حاوی  $0.5\%$  وزنی ذرات الیافی رسم شده است.

نتایج به وضوح نشان می‌دهد که ذرات الیافی، افت صافی سیال و تخریب تراوایی را کاهش داده‌اند. مقدار صافاب در زمان  $30$  دقیقه اولیه فقط  $1 \text{ ml}$  و پس از گذشت  $5$  ساعت میزان آن حدود  $9 \text{ ml}$  شده است. تراوایی شکاف در دو مقطع آخر برابر مقدار اولیه است. جریان خلاف جهت آب نمک، منجر به بهبود  $50\%$  تراوایی مقطع نحس است نسبت به مقدار اولیه شده است. در شکل‌های ۶ و ۷، نتایج برای گل‌های حفاری مشابه با عرض شکاف دو برابر مشاهده می‌شود. همان‌گونه که مشاهده می‌شود، گرچه نرخ صافاب برای شکاف عریض‌تر (شکل ۶ الف) بزرگ‌تر از شکاف باریک است (شکل ۶الف)، ولی تخریب تراوایی برای هر



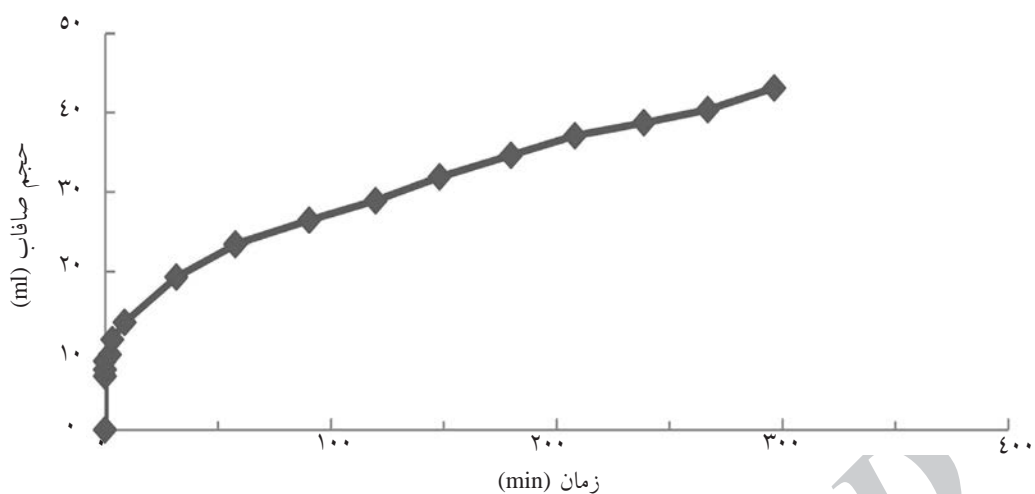
شکل ۴ الف- صافاب دینامیکی بر حسب زمان (٪/دزرات الیافی در گل و عرض شکاف  $121 \mu\text{m}$ )



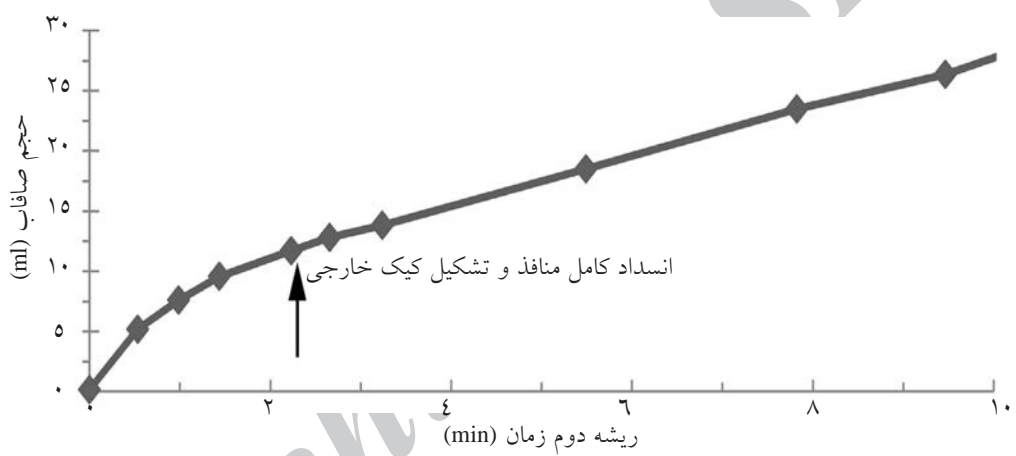
شکل ۴ ب- رفتار افت صافی دینامیکی سیال در زمان‌های اولیه



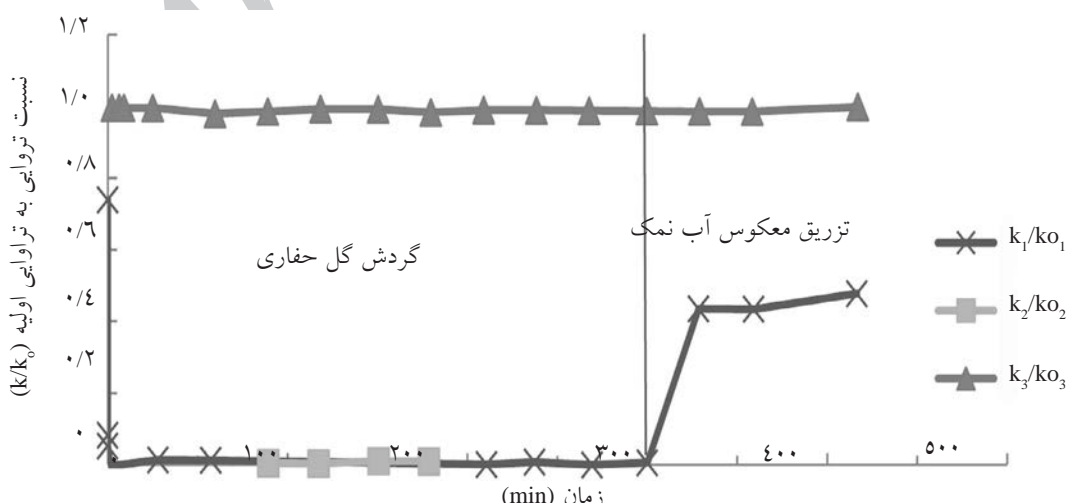
شکل ۵- نمودار تخریب تراوایی شکاف بر حسب زمان (عرض شکاف  $121 \mu\text{m}$ )



شکل ۶-الف- صافاب دینامیکی بر حسب زمان (٪/دراحت الیافی در گل و عرض شکاف  $221 \mu\text{m}$ ).



شکل ۶-ب- رفتار صافاب دینامیکی سیال در زمان‌های اولیه



شکل ۷- تخریب تراویی شکاف بر حسب زمان (عرض شکاف  $221 \mu\text{m}$ )

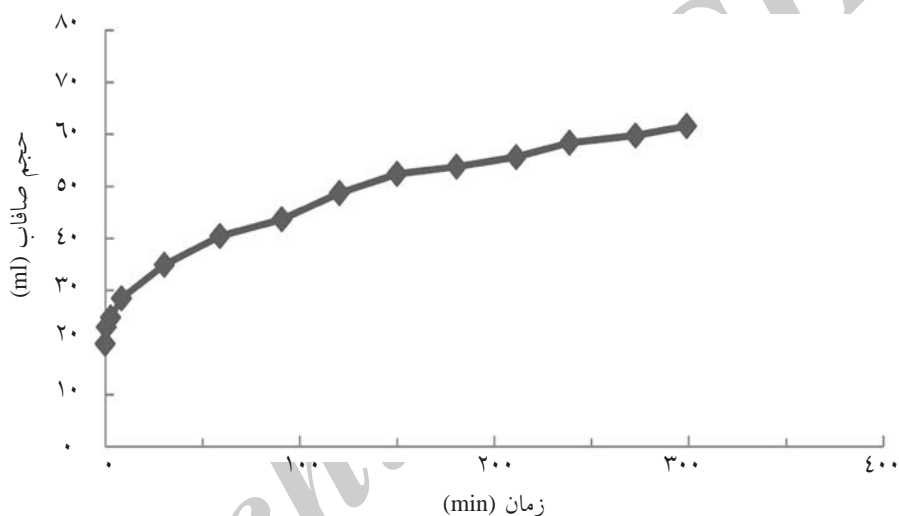
حفاری مشابه به همراه افزودنی‌های فیبری ولی با عرض شکاف در حدود ۲ mm (پر شده با ذرات کربنات کلسیم ۱) و با تراوایی حدود ۲۵۰ dr را نشان می‌دهد.

با وجود دهانه عریض شکاف و تراوایی بالای آن، ذرات الیافی (فیبری) همچنان در ۳ اینچ اولیه شکاف پل تشکیل داده و به بخش‌های دیگر آن آسیب نمی‌زند.

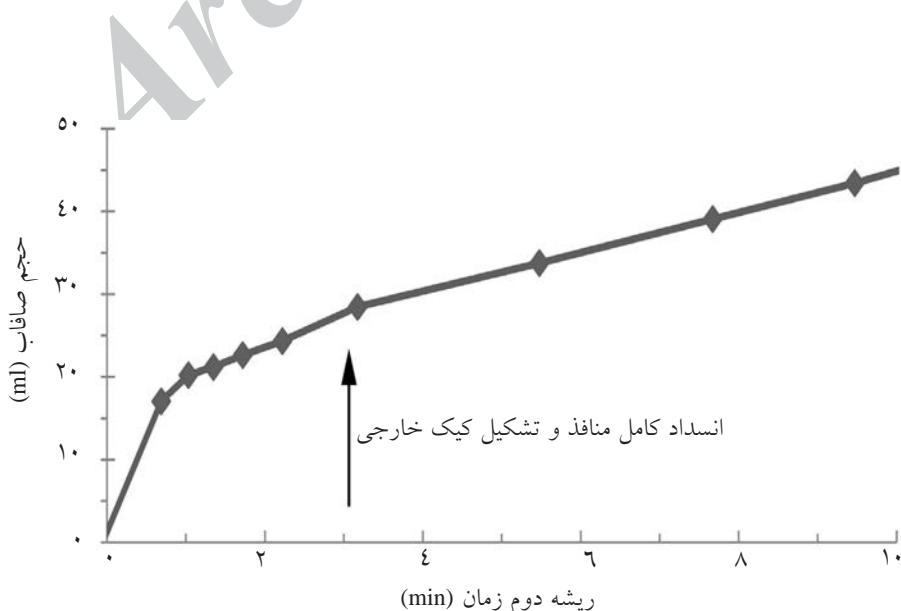
#### اثر افزودنی‌های دانه‌بندی شده

شکل ۱۰، توزیع اندازه ذرات کربنات کلسیم را نشان می‌دهد که به عنوان افزاییه هرزروی (مواد پل‌ساز) در آزمایشات مورد استفاده قرار گرفته است.

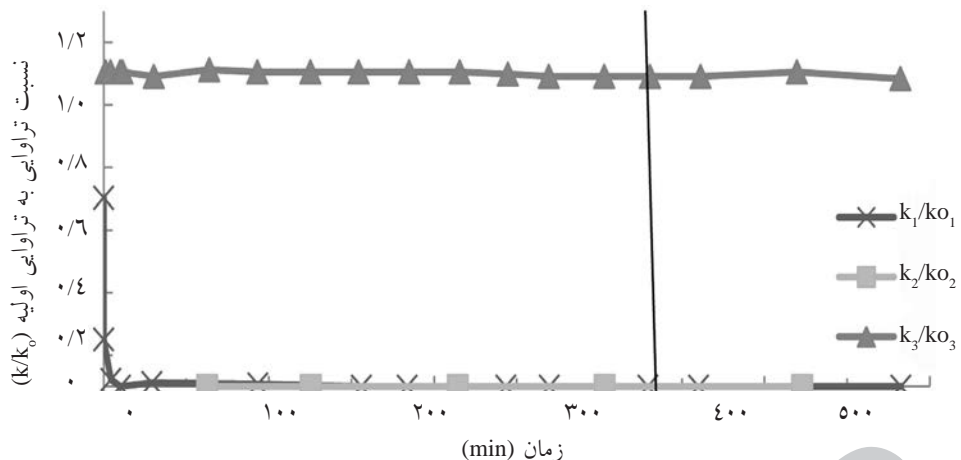
تصاویری از انود صافی جدا شده از سطح شکاف با بزرگ‌نمایی بالا نشان می‌دهند که با نشست ذرات خاک رس روی پل الیافی، انود صافی کم تراوا تشکیل می‌شود. به محض تشکیل پل، انتقال و برداشتن آن توسط جریان، به دلیل وجود ذرات ریز کارساز درون آن در جهت جریان گل حفاری و همچنین وجود نقاط تماس زیاد بین توده فیبر و سطح شکاف (در مقایسه با یک یا دو نقطه تماس جامدات) به آسانی میسر نمی‌باشد. با تصویربرداری از انود گل جدا شده از سطح شکاف، می‌توان کیک کم تراوایی حاصل از رسوب ذرات، رس بر روی پل‌های مواد الیافی را مشاهده نمود. شکل‌های ۸ و ۹، نتایج گل‌های



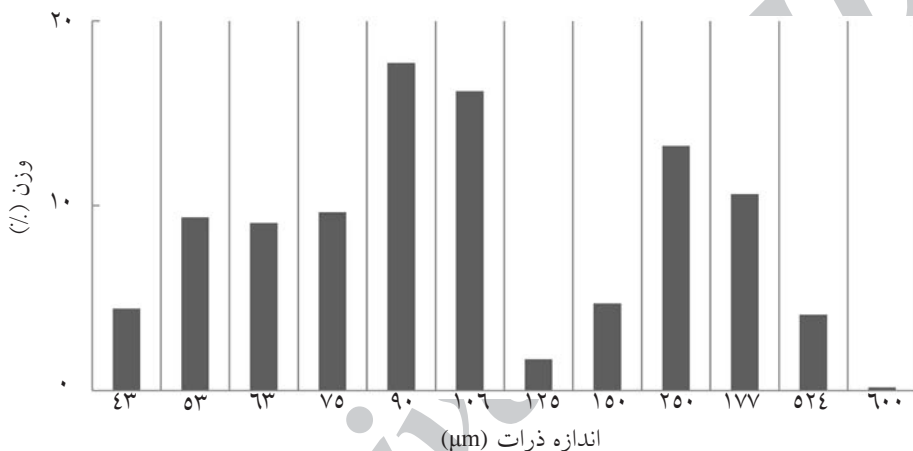
شکل ۸-الف- صافاب دینامیکی بر حسب زمان [٪۰/۵ ذرات الیافی در گل، عرض شکاف ۲ mm]



شکل ۸-ب: رفتار صافاب دینامیکی سیال در زمان‌های اولیه



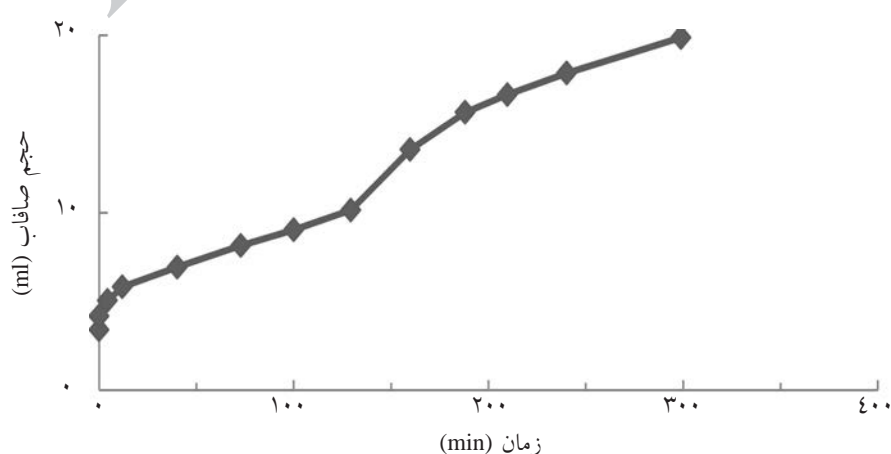
شکل ۹- آسیب تراوایی شکاف بر حسب زمان [۰/۵٪ ذرات الیافی افزوده شده (عرض شکاف ۲ mm)]



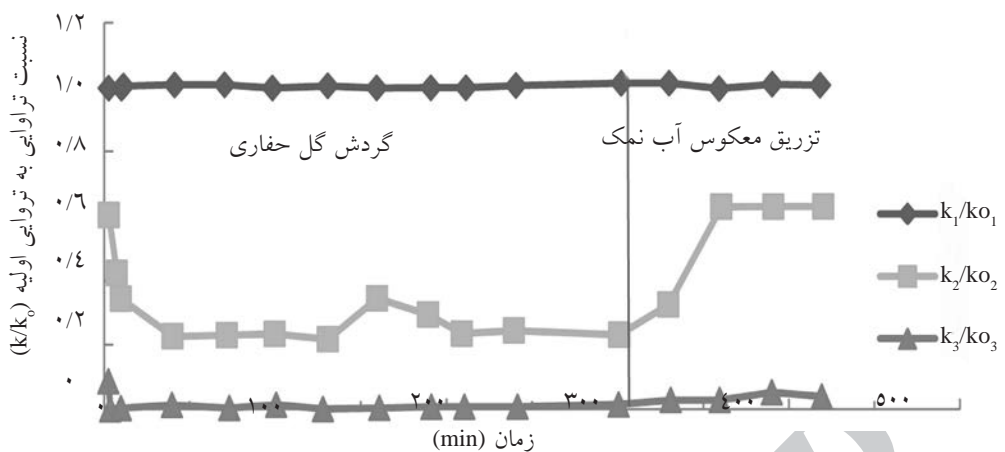
شکل ۱۰- توزیع اندازه ذرات کربنات کلسیم

تصاویر گرفته شده پس از آزمایش نشان می‌دهد که ۴ اینچ اولیه شکاف به شدت آسیب دیده و جریان برگشتی از آب نمک نتوانسته تراوایی را بهبود بخشد. در شکل ۱۳، مشاهده می‌شود که ذرات گل به ۴ اینچ ابتدای شکاف وارد شده است.

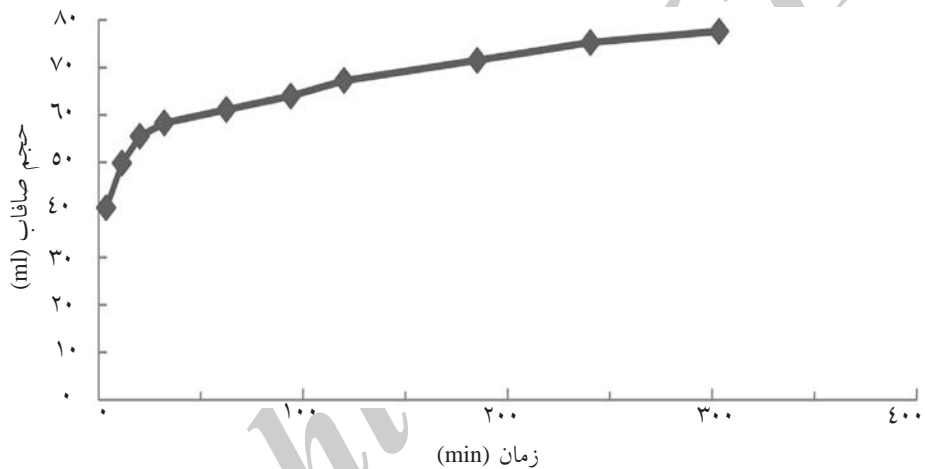
توزیع ذرات بشكل تابع دو نمایی بوده و اطمینان می‌دهد که برخی ذرات بزرگ برای ایجاد پل در سراسر شکاف‌های عریض همواره وجود دارند. شکل‌های ۱۱ و ۱۲، نتایج آزمایشگاهی حاصل از افزودن یک درصد وزنی ذرات کربنات کلسیم (عامل پل‌ساز) به گل حفاری را نشان می‌دهد.



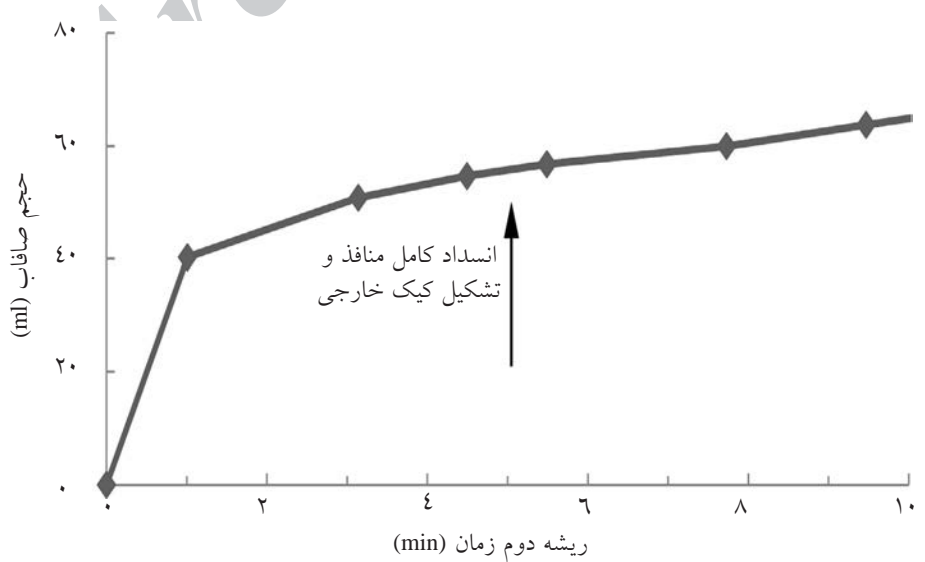
شکل ۱۱- نمودار صافاب دینامیکی بر حسب زمان (عرض شکاف ۱۱۳ μm)



شکل ۱۲- تخریب تراوایی شکاف بر حسب زمان (عرض شکاف ۱۱۳ μm)



شکل ۱۳ الف- صفاب دینامیکی بر حسب زمان (عرض شکاف ۱۱۳ μm)



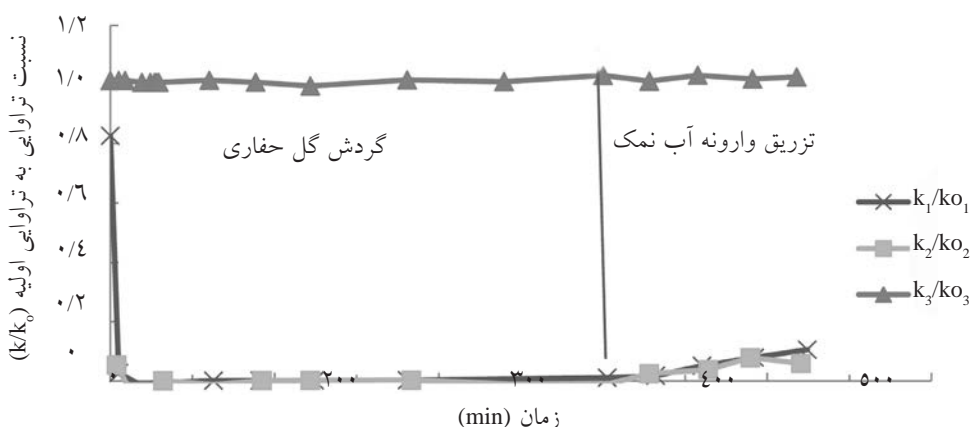
شکل ۱۳- رفتار صفاب دینامیکی سیال در زمانهای اولیه

اندود صافی بیرونی در حال شکل‌گیری است. به خوبی مشخص شده، زمانی که چنین اندازه شروع به تشکیل و رشد می‌کند، حجم صافاب استاتیکی با ریشه دوم زمان ( $t^{\frac{1}{2}}$ ) و حجم صافاب دینامیکی با زمان ( $t$ ) متناسب است [۲ و ۳]. در نمودارهای ۱ب، ۴ب، ۶ب، ۸ب و ۱۳ب تغییرات حجم صافاب در زمان‌های ابتدایی بر حسب ریشه دوم زمان ( $t^{\frac{1}{2}}$ ) رسم شده است. شکل ۱ب نشان می‌دهد که گل برای تشکیل پل در سطح شکاف با دهانه باریک تقریباً به ۱۰ دقیقه زمان نیاز دارد. افزودن ۵٪ وزنی از ذرات فیبری، زمان تشکیل پل و در نهایت صافاب جهشی را به میزان قابل ملاحظه‌ای کاهش می‌دهد. شکل ۴ب نشان می‌دهد که اتصال بلافضله برای شکاف با عرض کم ایجاد می‌گردد. همچنین صافاب ناگهانی در مدت آزمایش مشاهده نمی‌شود و نرخ افت صافی سیال نسبت به زمان ثابت است. هنگامی که عرض شکاف افزایش می‌یابد (شکل ۶ب، ۸ب) جهش ناگهانی صافاب سیال افزایش یافته و زمان لازم برای تشکیل پل کامل در ورودی شکاف، افزایش می‌یابد. همان‌گونه که در شکل ۶ب، ۸ب مشاهده می‌شود، زمان مورد نیاز برای تشکیل پل در شکاف‌هایی با عرض  $221\text{ }\mu\text{m}$  و  $2\text{ mm}$  به ترتیب ۵ و ۱۰ دقیقه است. مدت لازم برای تشکیل کامل یک پل توسط ذرات کربنات کلسیم برای شکافی با عرض  $207\text{ }\mu\text{m}$ ، حدود  $30\text{ min}$  طول می‌کشد که زمان بیشتری می‌یابد (شکل ۱۳ب). به روشنی مشخص است که ذرات فیبری نسبت به کربنات کلسیم در تشکیل پل در سراسر سطح شکاف، عملکرد مؤثرتری دارند.

با مقایسه شکل‌های ۱۳ و ۶ در می‌یابیم که ذرات کربنات کلسیم دانه‌بندی شده به اندازه ذرات فیبری در تشکیل پل‌ها مؤثر نمی‌باشند. عرض شکاف برای دو آزمایش تقریباً مشابه است. به هر حال ذرات جامد گل که در آن از ذرات الیافی (فیبری) استفاده شده، حدود  $2\text{ mm}$  وارد شکاف شده‌اند که می‌تواند با ذرات کربنات کلسیم که به ۴ اینچ از شکاف وارد شده‌اند، مقایسه شود. افزایش ناگهانی در نرخ صافاب (شکل ۱۱) نشان می‌دهد که پس از  $130\text{ s}$  دیقه پل‌های ایجاد شده توسط کربنات کلسیم ( $\text{CaCO}_3$ ) ناپایدار می‌باشد. به طوری که چنین رفتاری هرگز توسط ذرات فیبری دیده نشده است. همچنین اندازه نسبی ذرات کربنات کلسیم و عرض شکاف ممکن است دلیل بر عدم کارایی آن باشد. در شکل ۱۰ مشاهده می‌شود که غالب ذرات کربنات کلسیم نمی‌توانند به درون شکاف وارد شوند. شکل‌های ۱۳ و ۱۴، نشان‌دهنده نتایج برای شکاف عریض‌تر ( $207\text{ }\mu\text{m}$ ) با گل مشابه است. نتایج نشان می‌دهد که ساختار پل پایدار است و حجم زیادی از گل ( $50\text{ ml}$ ) در سراسر شکاف جریان یافته و تراوایی به شدت تخریب شده است. جریان برگشتی آب نمک، توانسته تراوایی را تنها تا حدود ۲۰٪ مقدار اولیه بهبود ببخشد. جهش ناگهانی صافاب سیال حاوی کربنات کلسیم، شاید از نقطه نظر حفاری قابل قبول باشد، اما از نظر بهره‌برداری بسیار خط‌ناک است.

#### ایجاد پل و اندازه صافی بیرونی

می‌توان با آنالیز داده‌های صافاب در زمان‌های اولیه، زمانی را مشخص کرد که ساختار پل در سازند تکمیل شده و



شکل ۱۴- میزان آسیب تراوایی شکاف بر حسب زمان (عرض شکاف  $207\text{ }\mu\text{m}$ )

$$\left(\frac{F_y}{F_x}\right)_f = \left(\frac{4 - \ln Re_y}{2 - \ln Re_y}\right) \left(\frac{2 - \ln Re_x}{4 - \ln Re_x}\right) \frac{v_y}{v_x} \geq 1 \quad (5)$$

برای سیالات حفاری مدل توانی، عدد رینولدز به صورت

$$Re = \frac{2^n R^n v^{2-n} \rho_f}{8^{n-1} K} \quad (6)$$

که در آن  $n$  و  $K$  پارامترهای رئولوژیکی سیالات حفاری مدل توانی،  $R$  شعاع توده فیبر به هنگام محاسبه نیروی کششی در جهت  $x$  یا شعاع فیبر منفرد حین محاسبه نیروی کششی در جهت  $y$  و  $v_y$  چگالی مایع و  $v_x$  سرعت سیال است. در دستگاه آزمایشگاهی مورد استفاده، گل حفاری از طریق شیاری جریان یافته و  $v_x$  به صورت رابطه ۷ محاسبه می‌شود [۶]:

$$v_x = \frac{\frac{2^{\frac{1}{n}}(4 + \frac{2}{n})}{(1 + \frac{1}{n})h^{(1 + \frac{1}{n})}} \left[ \frac{h^{(1 + \frac{1}{n})}}{2} - \left( \frac{h}{2} - R \right)^{(1 + \frac{1}{n})} \right]}{v_y} \quad (7)$$

که در آن  $h$  ارتفاع شیار و  $v_y$  میانگین سرعت جریان است. شکل ۱۶، نمودار  $F_y/F_x$  بر حسب سرعت صافاب  $v_y$  را نشان می‌دهد. در این رابطه،  $v_y$  از داده‌های افت صافی مشخص شده در شکل ۶ الف به دست می‌آید.

هنگامی که  $v_y$  بزرگتر از  $0/2 \text{ cm/s}$  باشد، توده‌های فیبر با اندازه  $\mu$  ۱۰۰ تحت شرایط چنین آزمایشی می‌توانند رسوب کنند. در آزمایشات دینامیکی (شکل ۱۶الف)، سرعت صافاب برای ۵ اول  $\text{min}$  از  $0/2 \text{ cm/s}$  می‌باشد. به عبارت دیگر، توده فیبر با اندازه  $100 \text{ mm}$  می‌تواند در ۵  $\text{min}$  نخست و متعاقباً، فقط توده‌های کوچک‌تر می‌توانند رسوب کنند. مطالعات Jiao و Sharma نشان می‌دهند که برای ذرات کروی جامد، مقدار  $s$  از رابطه ۸ محاسبه می‌شود [۷]:

$$\left(\frac{F_y}{F_x}\right)_s = \left(\frac{2 v_y}{3 R \gamma_w}\right)^n \quad (8)$$

### مکانیسم رسوب ذرات الیافی

همان‌گونه که گفته شد، ذرات فیبری به آسانی در دیواره چاهه‌ها رسوب کرده و اتصالات پایدارتری را ایجاد می‌کنند. برای درک این موضوع، لازم است نیروهای کششی هیدرودینامیکی که بر روی ذرات فیبری وارد می‌شوند، مورد تجزیه و تحلیل قرار گیرند. برای این منظور، فرض شده که توده فیبری شامل  $N$  ذره است که  $N/3$  آنها موازی با جهت جریان و  $2/3N$  عمود بر جهت جریان هستند. شکل ۱۵ شماتیک نیروهای کششی هیدرودینامیکی که روی توده فیبری به هنگام فیلتراسیون دینامیکی اعمال می‌شود را نشان می‌دهد. پس از رسوب، انباشت الیافها فرو پاشیده و پل پایدار در سطح شکاف ایجاد می‌نماید.

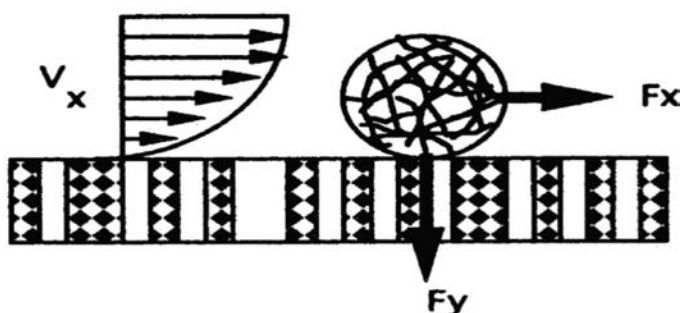
شایدیگر [۴] رابطه‌ای برای محاسبه نیروی کششی روی مواد فیبری در سیال نیوتونی ارائه کرده است. برای محاسبه نیروی سایش اعمال شده روی توده مواد فیبری در سیال غیر نیوتونی، معادلات تقریبی زیر (رابطه ۲ و ۳) استفاده شده است:

$$F_y = \frac{N}{3} 4\pi \mu_a v_y L_f + \frac{2N}{3} \frac{4\pi \mu_a v_y L_f}{2 - \ln Re_y} \quad (2)$$

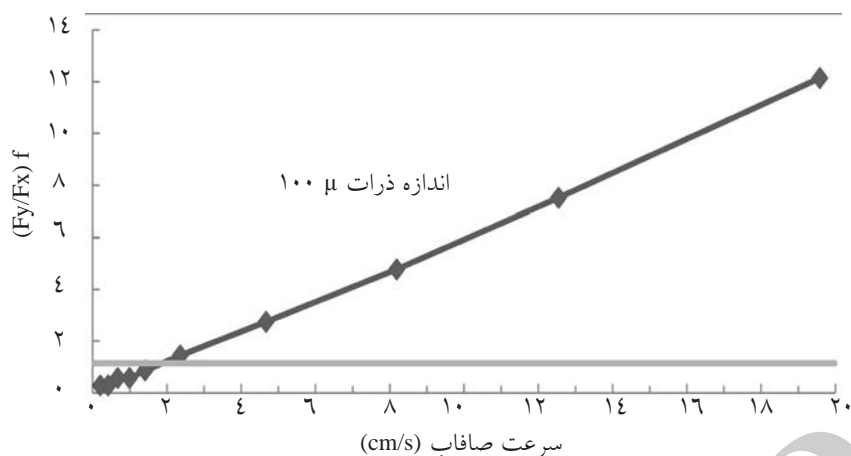
$$F_x = \frac{N}{3} 4\pi \mu_a v_x L_f + \frac{2N}{3} \frac{4\pi \mu_a v_x L_f}{2 - \ln Re_x} \quad (3)$$

که در آن،  $v_y$  سرعت صافاب،  $v_x$  سرعت جریان گل در مرکز توده فیبری،  $\mu_a$  گرانروی ظاهری گل حفاری و  $Re_y$  و  $Re_x$  اعداد رینولدز در دو جهت  $x$  و  $y$  هستند. در معادلات ۲ و ۳ جمله اول مربوط به نیروی کششی توده فیبر موازی با جهت جریان و جمله دوم مربوط به الیاف عمود بر جهت جریان می‌باشند. اگر توده فیبری بر روی سطح شکاف رسوب کند، روابط زیر باید برقرار باشد [۵]:

$$\left(\frac{F_y}{F_x}\right)_f \geq 1 \quad (4)$$



شکل ۱۵- شماتیک نیروهای کششی وارده بر توده مواد فیبری تعليق



شکل ۱۶- نمودار نسبت نیروی رسوب و نیروی برشی بر حسب سرعت صافاب برای ذرات الیافی

سرعت جریان گل  $v_7$  در رسوب ذرات نسبت به ذرات جامد برجسته‌تر است. بنابر این، توصیه می‌شود برای ایجاد و تشکیل پل‌های انسداد حفرات در طول شکاف، از جریان گل با نرخ پایین استفاده گردد. لازم به ذکر است برای رسوب توده‌های الیاف روی شکاف‌ها به افت صافی با سرعت بالا نیاز است. می‌توان با رویکرد آسیب سازند، از موارد فوق چنین استنباط کرد که:

کارایی و عملکرد ذرات فیبری فقط در مخازن شکاف‌دار یا با نفوذ پذیری بالا که در آنها میزان هرزروی ناگهانی بالاست، بسیار مطلوب می‌باشد. به عبارت دیگر استفاده از چنین افزایه‌هایی برای مخازنی با نفوذ پذیری متوسط یا پایین، توصیه نمی‌شود.

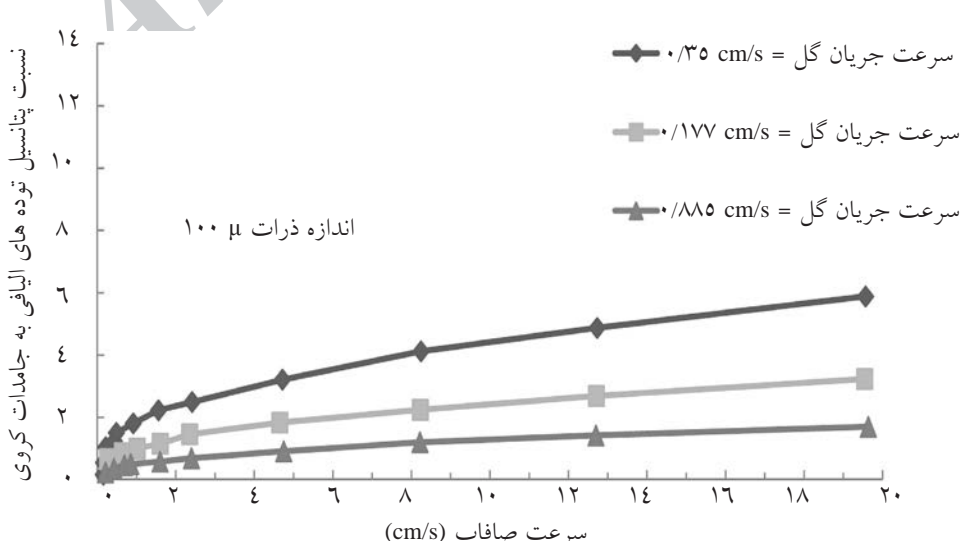
که در آن،  $\frac{v}{v_7}$  نرخ تنش در سطح اندود صافی است. با تقسیم معادلات ۵ و ۸، پتانسیل رسوب توده الیاف‌ها نسبت به ذرات جامد در همان اندازه به صورت زیر به دست می‌آید.

$$\left(\frac{F_y}{F_x}\right)_f / \left(\frac{F_y}{F_x}\right)_s \geq 1 \quad (9)$$

رسوب توده‌های فیبری، بسیار شبیه به ذرات کروی با اندازه مشابه تحت شرایط جریانی یکسان می‌باشد.

شکل ۱۷، نتایج محاسباتی با استفاده از داده آزمایشات مربوط به شکل ۶ الف را برای ذرات  $\mu_{100}$  در  $v_7$  مختلف نشان می‌دهد.

این شکل نشان می‌دهد که پتانسیل رسوب توده‌های الیافی، در سرعت زیاد صافاب  $v_7$  و سرعت جریان پایین گل حفاری  $v_x$  افزایش می‌یابد. به عبارت دیگر نقش و اثر



شکل ۱۷- پتانسیل رسوب توده‌های الیاف و جامدات کروی در سرعت جریانی مختلف (برحسب سرعت صافاب اندازه ذرات  $\mu_{100}$ )

$k$ :	تراوایی اندازه‌گیری شده مغزه ( $\text{cm}^2$ )
$j$ :	تراوایی شکاف، ( $\text{cm}^2$ )
$k_m$ :	تراوایی خمیره سنگ (ماتریکس) ( $\text{cm}^2$ )
$k_o$ :	تراوایی مغزه بدون صدمه دیدگی ( $\text{cm}^2$ )
$K$ :	پارامتر رئولوژیکی
$L$ :	طول شکاف (cm)
$Re_x$ :	عدد رینولدز در جهت x
$Re_y$ :	عدد رینولدز در جهت y
$v$ :	سرعت سیال (cm/s)
$v$ :	سرعت متوسط جريان گل (cm/s)
$v_x$ :	سرعت جريان گل (cm/s)
$v_y$ :	سرعت صافاب (cm/s)
$W$ :	عرض شکاف (cm)
$w$ :	سرعت برشی در سطح اندود صافی ( $\text{s}^{-1}$ )
$\mu_a$ :	گرانزوی ظاهری (cP)
$\rho_f$ :	چگالی مایع (gr/cm <sup>3</sup> )
ذیننویس	
$a$ :	ظاهری
$f$ :	شکاف، الیاف
$n$ :	پارامتر رئولوژیکی
$s$ :	ذره کروی
$w$ :	در سطح کیک
$x$ :	مولفه x
$y$ :	مولفه y

**نتیجه‌گیری**

نتایج به دست آمده از تجزیه و تحلیل داده‌های آزمایشگاهی و مطالعاتی به شرح زیر خلاصه می‌گردد:

۱- در حفاری مخازن شکافدار اگر از سیالات حفاری بدون افزایه‌های کتربل هرزروی استفاده شود، آسیب جدی به شکافها وارد می‌شود. به طوری که این نواحی با سیالات حفاری پر شده و کاهش نفوذپذیری با جریان‌های برگشتی بهبود نمی‌یابد.

۲- استفاده از ذرات فیری (الیافی) دانه‌بندی شده سایزبندی شده به عنوان افزایه در گل‌های حفاری، موجب کاهش آسیب دیدگی شبکه شکافها در سازند می‌شود.

۳- نتایج نشان می‌دهد توده‌های فیری در سرتاسر سطح شکاف‌ها پلی ایجاد کرده و پس از آن ذرات بتونیت با ایجاد اندود صافی مؤثر از ورود هجوم جامدات و صافاب سیالات حفاری به درون سازن جلوگیری می‌کنند.

۴- محاسبات تقریبی نیروی کششی وارد شده بر توده‌های الیاف، نشان می‌دهد که تحت شرایط دینامیکی، ذرات الیاف در مقایسه با افزایه‌های کروی شکل و با اندازه مشابه، تمایل بیشتری به رسوب روی سطح شکاف از خود نشان می‌دهند. همچنین معلوم می‌شود اثر سرعت برشی روی ذرات الیافی نسبت به نوع کروی شکل، بارزتر بوده و در زمانی که سرعت جريان گل حفاری بالا باشد، این مواد به سختی رسوب می‌کنند.

۵- استفاده از افزودنی‌های فیری در عملیات حفاری مخازن با شکاف‌های طبیعی توصیه می‌شود.

۶- نتایج آزمایشات نشان داد علاوه بر مزایای به کارگیری افزایه‌های الیافی که پیشتر اشاره گردید، کاربرد این مواد باعث می‌شود گستردگی آسیب سازندهای شکافدار بمیزان قابل توجهی کاهش می‌یابد.

**علامه و نشانه‌ها**

$A$ : سطح مقطع نمونه مغزه ( $\text{cm}^2$ )

$F_y$ : نیرو در جهت y (N)

$F_x$ : نیرو در جهت x (N)

$h$ : طول شیار، L (cm)

$h_f$ : طول شکاف، L (cm)

## مراجع

- [1]. Leoppke G. E., Glowka D. A., and Wright E. K., *Design and evaluation of lost-circulation materials for severe environments*, JPT, 328; Trans., AIME, 289, March 1990.
- [2]. Zh Li., Jienian Ya and et.al: "A new method for optimized design of temporary blocking agent used for formation protection in south shallow water area of dagang oilfield". Journal of Oil & Gas Technology, 7,29(3), pp. 299-301(in Chinese), 2000.
- [3]. Thomas B. and Sharma M. M., "Distribution of mud induced damage around horizontal wellbores," in press, SPE Production & Facilities, SPE. pp. 39468, 2000.
- [4]. Scheidegger A. E., *The physics of flow Through Porous Media*, U. of To-ronto Press, 1974.
- [5]. Jiao D. and Sharma M. M., "Mechanism of cake buildup is crossflow filtration of colloidal suspension", J. Colloid and Interface Sci., pp. 162, 454, 1994.
- [6]. Gidley J. L. et al., *Recent advances in hydraulic fracturing*, Monograph Series, SPE, Richardson, TX, 22, 112.
- [7]. Jiao D. and Sharma M. M., *Formation damage caused by static and dynamic filtration of water-based muds*, paper SPE 23823 presented, SPE Formation Damage Control Symposium, Lafayette, LA, Feb. pp. 26-27, 1992.